

## ネットワークトポロジがコンテンツポイズニング攻撃に与える影響の分析

Investigating Influence of Network Topology on Content Poisoning Attack

工藤 多空飛<sup>1</sup>

上山 憲昭<sup>2</sup>

Takuto Kudo

Noriaki Kamiyama

福岡大学大学院 工学研究科 電子情報工学専攻<sup>1</sup>

Graduate School of Engineering, Fukuoka University

立命館大学 情報理工学部<sup>2</sup>

College of Information Science and Engineering, Ritsumeikan University

### 1.はじめに

コンテンツの名称でデータ通信を行い、コンテンツ配信を効率的に行うネットワーク(NW)アーキテクチャとして情報指向ネットワーク(ICN: information-centric networking)が注目を集めている。しかし、悪意を持ったユーザが不当なコンテンツをNWに展開することでキャッシュの効果を低下させるコンテンツポイズニング攻撃(CPA: content poisoning attack)の問題が指摘されている[1]。CPAには、独自に作成したfakeコンテンツを結託ユーザから要求する独自fake型、実在コンテンツのfakeデータをオリジナリティとして配信する詐称fake型、ユーザの要求直後にfakeデータを配信する自然corrupted型、結託ユーザから実在コンテンツのfakeを要求し配信する結託corrupted型が存在する[2]。CPAに対する対処法を確立するには、CPAがNWの性能に与える影響を明らかにする必要があるが、既存研究はその多くが小規模なNWトポロジや限定された攻撃者の位置のみで評価を行っている[1]。そこで文献[2]ではfake型CPAがキャッシュヒット率に与える影響分析を、文献[3]ではICNのキャッシュ方式が独自fake型CPAの脅威に与える影響を評価した。本稿では、NWトポロジが独自fake型CPAの脅威に与える影響を分析する。

### 2.独自 fake 型 CPA の攻撃者配置方式

fakeコンテンツの配置方法として、以下の二つを想定する[3]。  
**AVH:**他のノードに至る平均ホップ長が最大となるノードに配置  
**BC:**Betweenness Centralityが最大のノードに配置

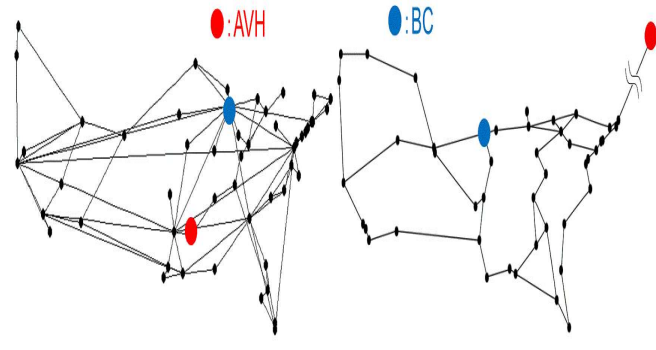
$C$ を結託ユーザの配置数とし、 $N$ を全ノード集合、 $U$ を結託ユーザの配置ノード集合、 $x(l)$ をリンク $l$ を経由するfakeコンテンツパス数、 $h(l)$ をリンク $l$ のfakeコンテンツからのホップ長の最小値、 $z(n)$ をノード $n$ が接続された全リンク $l$ の $f(l)$ の総和と定義する。攻撃者はfakeコンテンツが多数のルータに展開されるノードに結託ユーザを配置し、できるだけfakeコンテンツのキャッシュ位置が重ならず拡散させたい。そこで $f(l)$ をリンク重みとし、2つの設定法PC(path count)とPAH(path count and hop length)を考え、PCでは $f(l) = 1/x(l)$ に、PAHでは $f(l) = 1/\{x(l)h(l)\}$ に設定する[3]。 $z(n)$ が最大のノードから順番に結託ユーザを配置する。

### 3.性能評価

NWトポロジが独自fake型CPAの脅威に与える影響を計算機シミュレーションにより評価する。CAIDAで公開されている米国の商用ISPのバックボーンNWトポロジのうち、Allegiance Telecom及びAt Home Networkを評価に用いる。図1にこれら2つのNWトポロジと、各fakeコンテンツ配置方式においてfakeコンテンツが配置されたノードを赤色と青色の丸で示す。AVH方式の場合、Allegiance Telecomのようなハブ・スポーク型のNWトポロジでは、ハブノードが存在するためハブノードではないNWトポロジの中心付近のノードにfakeコンテンツが配置される。At Home Networkのようなラダー型のNWトポロジでは、ハブノードが存在せずノードが一様に分布しているため、NWの端のノードに配置される。BC方式の場合、ハブ・スポーク型ではハブノードに、ラダー型ではNWトポロジの中心付近のノードに配置される。

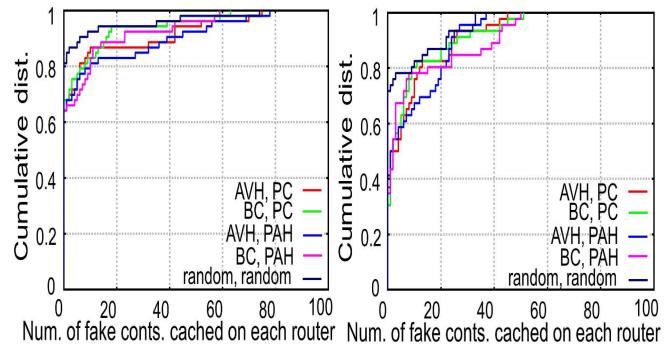
キャッシュ方式は配信ルータの1ホップ下流ルータでキャッシュを行うLeave Copy Down(LCD)[4]を想定する。コンテンツ数 $M = 10,000$ に対しキャッシュサイズは100とする。正常ユーザはパラメタ $\theta = 0.8$ のZipf分布に従いランダムに選択したコンテンツを要求する。fakeコンテンツ数は100、結託ユーザの総要求比率は全要求比率に対して10%を想定する。2節で述べたfakeコンテンツ及び結託ユーザの配置法の4つの組み合わせに加え、両者をランダムに配置した場合の5つを比較する。図2に、独自fake型におけるLCDに対し、結託ユーザが異

なる5ノードに存在している2つのNWにおいて、各ルータにキャッシュされているfakeコンテンツの累積分布を示す。図2(a)の赤及び青の曲線が他の曲線に比べて下に位置する傾向が確認できる。ハブ・スポーク型のNWトポロジでは、fakeコンテンツをAVH方式を用いて、ハブノードではないNWの中心付近に配置することで、ハブノード以外の多数のノードにfakeコンテンツを経由させ、より多くのノードにfakeコンテンツを注入可能である。一方、図2(b)の緑及び紫の曲線が他の曲線に比べてx軸が25程度以上の領域では下に位置する傾向が確認できる。ラダー型のNWトポロジでは、fakeコンテンツをBC方式に従ってNWの中心付近に配置することで、重複せずに多くのノードにfakeコンテンツを経由させ、より多くのノードにfakeコンテンツを注入可能である。また、ラダー型のNWトポロジはハブ・スポーク型に比べて、ノード間の経由ノード数が多い傾向があるため、CPAの影響が大きい。



(a) Allegiance Telecom (b) At Home Network

図1: NW トポロジ



(a) Allegiance Telecom

(b) At Home Network

図2: 各ルータのキャッシュ fake content 数の累積分布

謝辞 本研究成果はJSPS科研費18K11283と21H03437の助成を受けたものである。ここに記して謝意を表す。

- [1] T. Nguyen, et al., "Content Poisoning in Named Data Networking: Comprehensive Characterization of real Deployment", IM 2017, 2017.
- [2] 工藤多空飛, 上山憲昭, "コンテンツポイズニング攻撃の影響分析", 2021信学総大, B-6-24, 2021年3月.
- [3] 工藤多空飛, 上山憲昭, "攻撃者の位置がコンテンツポイズニング攻撃の脅威に与える影響の分析", 2021信学ソ大, B-11-18, 2021年9月.
- [4] N. Laoutaris, H. Che, and I. Stavrakakis, "The LCD interconnection of LRU caches and its analysis," Elsevier Performance Evaluation, Vol. 63, Issue 7, pp. 609-634, July 2006.